

III-16 河床波上の乱れ

佐賀大学 正員 渡辺 創用
 九州大学 学生員 ○原口 栄司
 九州大学 学生員 古屋 康一

1. まえがき

最近、移動床に発生する河床波が掃流砂、浮遊砂等に着るしい影響を及ぼすことが指摘されているが、とくに浮遊機構を解明する上では河床波上における流れやそれの構造を明確にする必要がある。Kennedyははくりを伴なむかわい sine wave 上の流れ、乱れを測定し普通の粗面流とは異なる性質を見出しているが、この研究では dune をモデル化した三角形粗度を用いた。平均流速分布及び乱れ強度、レイノルズ応力等の乱れの特性量を二成分ホットフィルムにより測定し、それらの1波長間の変化について検討したものである。

2. 実験概要

本実験に用いた水路は長さ8m、幅60cmの片面アクリライト鉄製矩形水路で、水路底に dune のモデルとして波長 $\lambda = 20\text{cm}$ 波高 $A = 1\text{cm}$ (波形勾配 $\Delta/\lambda = 1/20$) の木製三角形粗度を敷きつめたものである。二成分ホットフィルム(DISA 社)による速度変動の測定は図1に示した②～⑩の7断面において行なった。水理条件は表1のようである。

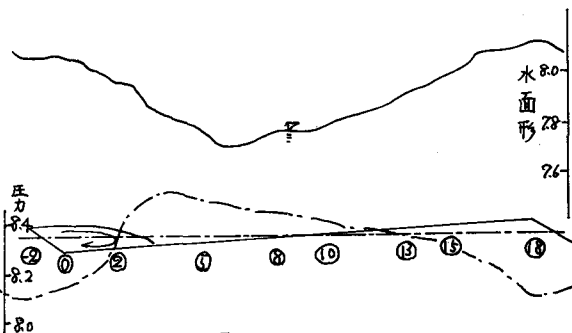


図-1

3. データ処理

ホットフィルム流速計によって検出された電圧変動をアナログテープに収録しこれをAD変換によって数値化し電子計算機によって各諸量を算出した。計算した乱れの諸量は①平均流速②乱れ強度③レイノルズ応力④エネルギー逸散量⑤平均スケール⑥スペクトル密度⑦相關係数などである。

4. 実験結果及び考察

河床波上の流れの様子は図1のようになり、実線及び破線は各々1波長間の水面形と圧力分布を示している。

①平均流速 図2に平均流速の分布の様子を示す。これより断面③と⑩(山)では対数分布則よりは一様に近い分布をしており、断面④(谷)と断面⑩では河床における逆流渦の影響により速度勾配が急変し、いわゆる減速領域が形成され、断面⑩を境界として⑩までの区間ではほぼ対数分布則 $U/U_0 = 5.75 \ln(y/y_0) + 0.85$ に従い断面⑩(山)までが加速領域となっている。

②レイノルズ応力 図3に示す記号△▲□等の Kennedy が行なった円管風洞中のはくりを伴なむ sine wave 上でのレイノルズ応力の分布を示し、 $\gamma = 0.2$ 以下のところでは顯著な減少を示している。しかし三角形粗度では $\gamma = 0.5$ 程度の所

水深 $h(\text{cm})$	流量 $Q(\text{l/s})$	平均流速 $U(\text{cm/s})$	摩擦速度 $U_0(\text{cm/s})$	勾配 I	エネルギー逸散 $U(\text{cm}^2/\text{s})$
5.62	12.93	38.34	3.24	1/326	1237×10^{-2}

表-1

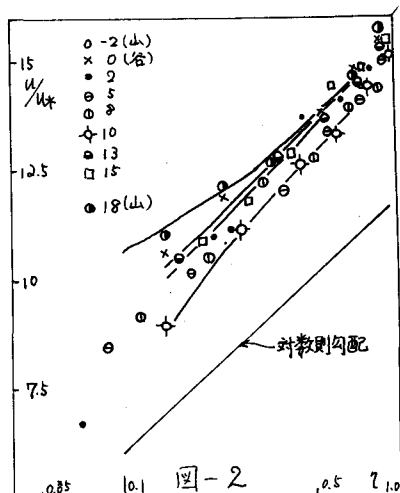


図-2

よりレイノルズ応力が減少している。これは山からのよ
りに伴ない静水圧分布が成立しなくなり、局所的な加
速流の存在により土壤応力が減少しているためと思わ
れる。

③乱れ強度 図4には Kennedy 及び Laufer の測定結
果も同時に示した。 u' については Kennedy の分布とは
は同様な傾向を示しているが、局所的にみると減速領域
では u' により u' が小さな所で大きな値をもち、加速
領域では減少していくのがわかる。 \bar{u}' については平均的には
実線によく一致しており、 Kennedy の値はこれより小さく範囲がある。

④粘性逃散率 図5に示すように一波長間でエネルギー
逃散率が変化し、いわゆる減速領域においては流れの
はく離による大きなエネルギー逃散が顕著に見られる。

⑤平均スケール 図6に平均スケールの無次元量 U_{ave}/U_k
を示す。主流域では水深の $4 \sim 5$ 波長程度の scale となっており、河床
付近ではその値は小さい。なお 1 波長間での大きな変化はみられない。

⑥スペクトル密度 断面②におけるスペクトル密度を図7に示す。
図より $-5/3$ 乗則、 -3 乗則に従う慣性領域と粘性領域が存在しており
水路床に近くにつれて high wave number 成分の占める割合が大
きくなっている。

なお本研究は権教授の指導のもとに行なわれた。

参考文献

1. Dan & Kennedy:

Turbulent flow wave
pipes (J.F.M. 1971, 47)

2. Laufer: Investigation
of Turbulent Flow in two-Dimen
sional Channel (NACA 1033)

3. 権 音藤: 大工学雑誌
(第10巻5号)

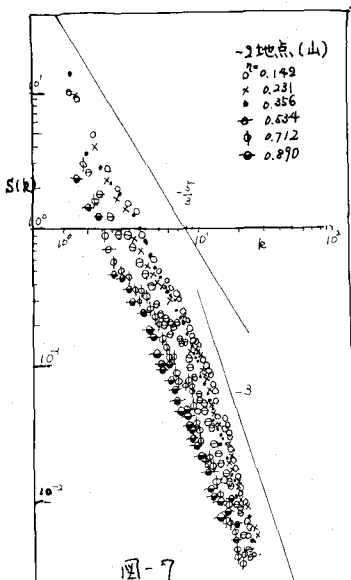


図-7

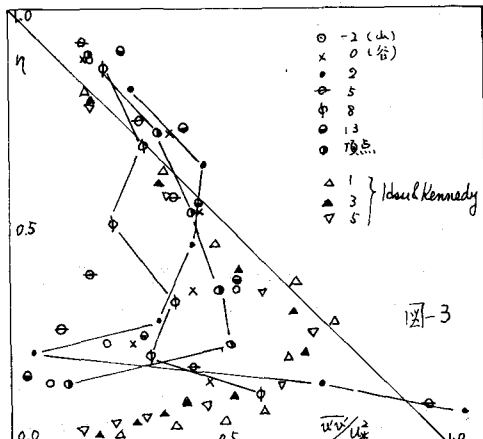


図-3

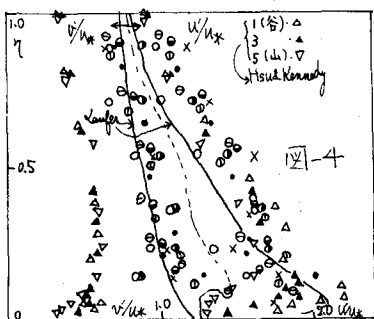


図-4

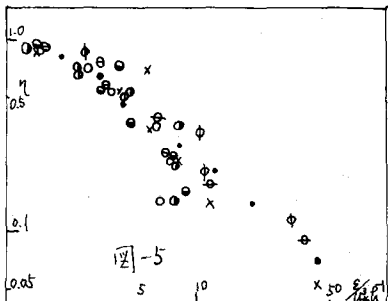


図-5

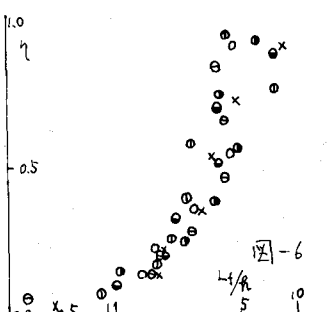


図-6